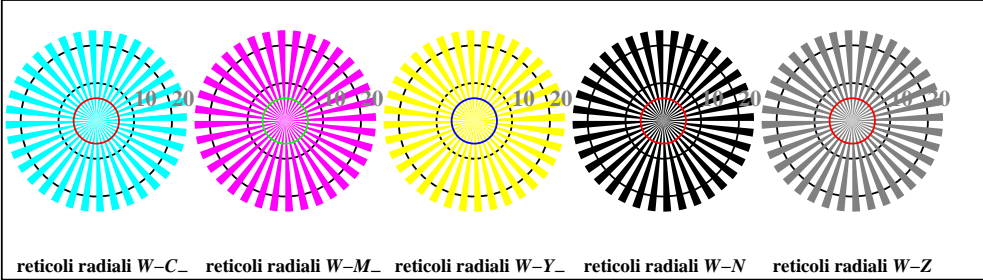
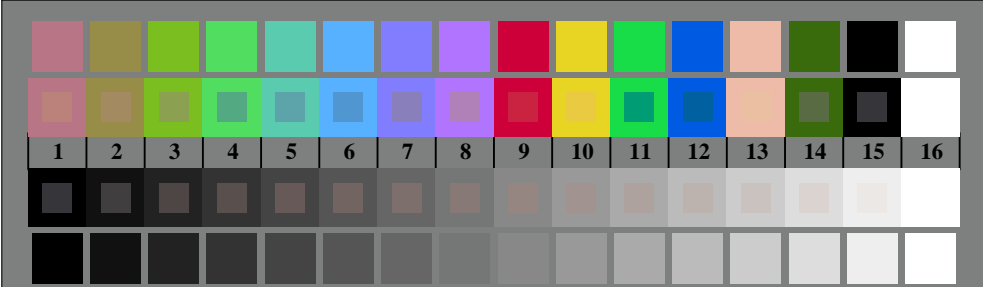
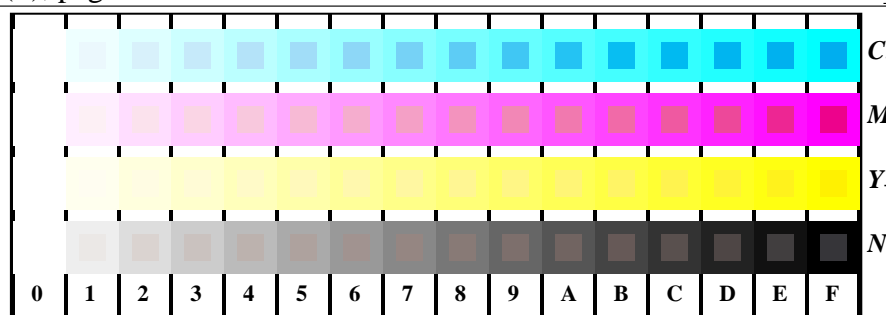




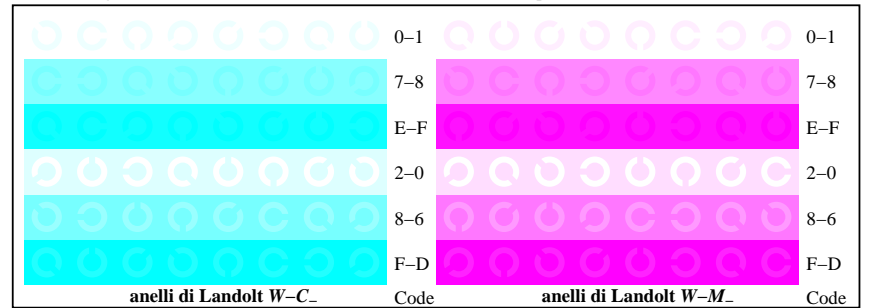
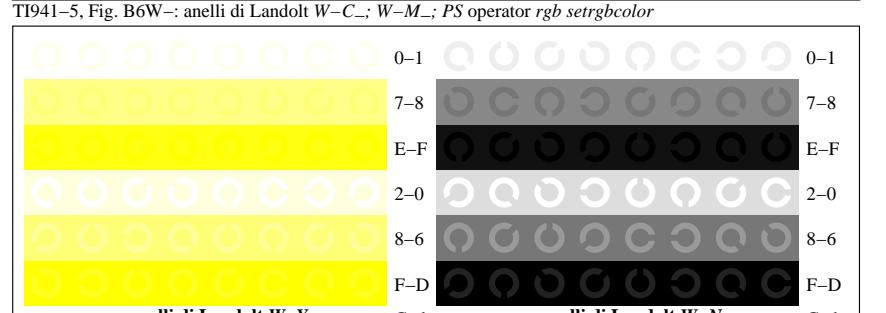
TI940-3, Fig. B1W-: motivo floreale, 14 prova colori CIE i 2 + 16 grigio passi (sf); PS operator 4 colorimage



reticolli radiali W-C_ reticolli radiali W-M_ reticolli radiali W-Y_ reticolli radiali W-N reticolli radiali W-Z

TI940-5, Fig. B2W-: reticolli radiali W-C_; W-M_; W-Y_; W-N; PS operator $rgb \rightarrow rgb_setrgbcolor$ TI940-7, Fig. B3W-: 14 prova colori CIE i 2 + 16 grigio passi (sf); $rgb/cmky0$ set($rgb/cmkyk$).colorGrafico TUB-TI94; 2(ISO/IEC 15775 & ISO/IEC TR 24705)
Tavola dei colori cromatici CMYTI941-1, Fig. B4W-: 16 equidistante passi W-C_-; W-M_-; W-Y_-; W-N; $rgb/cmky0$ set($rgb/cmkyk$).color

+-.:	lmno																
xyz;	hijk																
tuvw	defg																
pqrs	!abc																
lmno	xyz;																
hijk	tuvw																
defg	defg	defg	defg	defg	defg	defg	defg	defg	defg	defg	defg	defg	defg	defg	defg	defg	defg
!abc	!abc	!abc	!abc	!abc	!abc	!abc	!abc	!abc	!abc	!abc	!abc	!abc	!abc	!abc	!abc	!abc	!abc
10	N C_M_Y_Z																

tuvw
pqrs
lmno
hijk
+-.:
xyz;
tuvw
defg
!abc
6
N C_M_Y_ZTI941-3, Fig. B5W-: codice i Landolt anelli N; C_-; M_-; Y_-; Z; PS operator $rgb \rightarrow rgb_setrgbcolor$ TI941-5, Fig. B6W-: anelli di Landolt W-C_-; W-M_-; PS operator $rgb\ setrgbcolor$ TI941-7, Fig. B7W-: anelli di Landolt W-Y_-; W-N; PS operator $rgb\ setrgbcolor$ Input: $rgb/cmky$ -> $w/rgb/cmky$
Output: nessun cambiamento